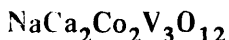


*Письма в ЖЭТФ, том 16, вып. 5, стр. 282 – 286*

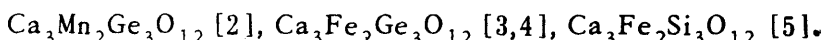
*5 сентября 1972 г.*

## МАГНИТНАЯ СТРУКТУРА АНТИФЕРРОМАГНИТНОГО ГРАНАТА



*Р.Н.Озеров, Н.В.Фадеева*

"Одноподрешеточные" гранаты (т.е. гранаты, в которых магнитные ионы находятся только в одном сорте пустот — или тетраэдрических, или октаэдрических) представляют большой интерес с точки зрения изучения природы внутриподрешеточных обменных взаимодействий. Синтез и исследование таких соединений со структурой граната и магнитными 3d-ионами только в октаэдрических пустотах описан в [1]. В ряде статей обсуждались результаты нейтронографического изучения магнитной структуры аналогичных соединений:



В настоящей работе было предпринято нейтронографическое исследование граната  $\text{NaCa}_2\text{Co}_2\text{V}_3\text{O}_{12}$  с целью изучения его атомной и магнитной структуры, а также спинового состояния иона  $\text{Co}^{2+}$ .

Нейтронограмма поликристаллического порошка  $\text{NaCa}_2\text{Co}_2\text{V}_3\text{O}_{12}$  снималась при комнатной и гелиевой температурах ( $T_N = 8,1^\circ\text{K}$  по данным [1]). Общий вид нейтронограмм приведен на рис. 1 (отражения 200 и 222 сняты с увеличенной статистикой). Мы приняли, что исследуемое соединение принадлежит к пространственной группе  $0_{\bar{h}}^{10} - Ja\ 3\ d$  с ионами натрия и кальция статистически расположеными в положении 24 (с), кобальта — в положении 16 (a), ванадия — в положении 24 (d) и кислорода — в общем положении 96 (h).

Координаты атомов кислорода характеризуют геометрию связей в структуре, поэтому определение параметров кислорода было одной из задач настоящей работы. Расчет был проведен с помощью ЭВМ М-220М филиала ФХИ им. Л.Я.Карпова с использованием процедуры уточнения методом наименьших квадратов по программе "Рентген-69" [8]. Результаты расчета представлены в табл. 1, где для сравнения приведены параметры атомов кислорода в аналогичном "одноподрешеточном" гранате  $\text{Ca}_3\text{Fe}_2\text{Ge}_3\text{O}_{12}$ , полученные разными авторами, в том числе и нами.

Наблюдающиеся магнитные отражения индицируются в той же элементарной ячейке, причем их индексы удовлетворяют условию  $h + k + \ell = 4n + 2$ . Магнитная структура, соответствующая этому закону погасаний, приведена на рис. 2, а. Она может быть описана двумя примитивными кубическими ферромагнитными подрешетками (правильнее было бы сказать "подподрешетками"), вставленными антиферромагнитно одна в другую.

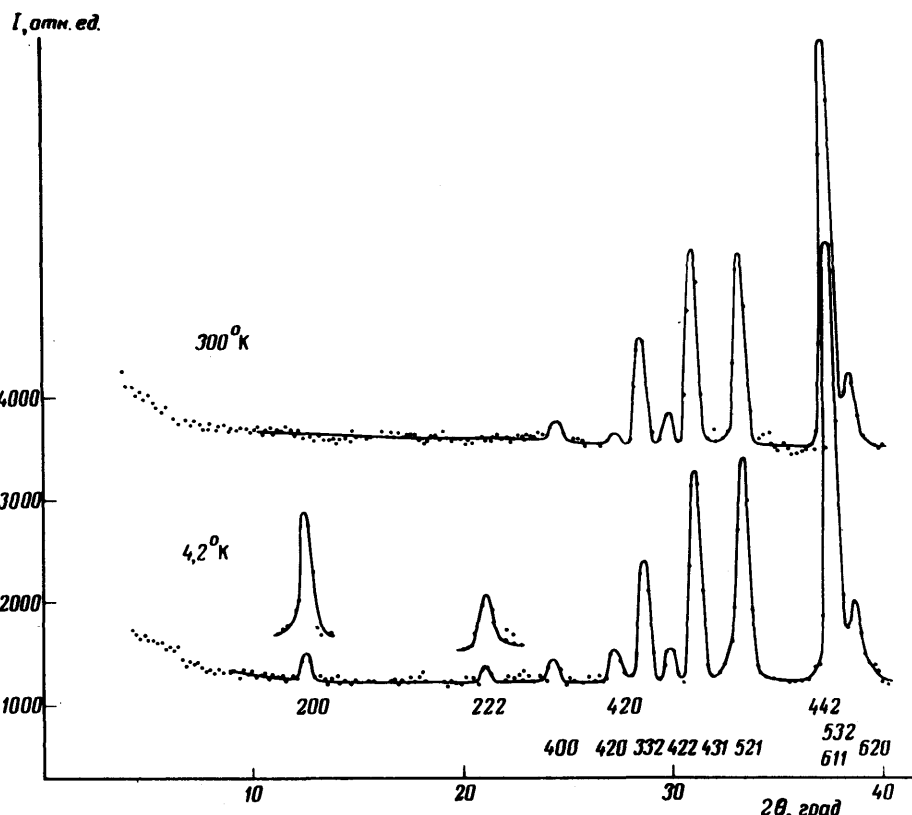


Рис. 1. Нейтронограммы  $\text{NaCa}_2\text{Co}_2\text{V}_3\text{O}_{12}$  при комнатной температуре (верхняя кривая) и при  $4,2^{\circ}\text{K}$  (нижняя кривая). Магнитные максимумы 200 и 222 сняты при большей статистике (показаны отдельно)

Следует отметить, что обнаруженная магнитная структура является третьей в ряду "одноподрешеточных" гранатов. Два других типа антиферромагнитного упорядочения наблюдаются в  $\text{Ca}_3\text{Mn}_2\text{Ge}_3\text{O}_{12}$  [2] (рис. 2, б),  $\text{Ca}_3\text{Fe}_2\text{Ge}_3\text{O}_{12}$  [3, 4] и наши неопубликованные данные) и в  $\text{Ca}_3\text{Fe}_2\text{Si}_3\text{O}_{12}$  [5] (рис. 2, в). Отсюда можно сделать вывод, что замена магнитного иона в октаэдрическом положении вызывает появление различных типов магнитного упорядочения, что, по-видимому, связано с изменением взаимодействия в различных координационных сферах.

Из интенсивности магнитных отражений с использованием формфактора иона  $\text{Co}^{2+}$  [7] была получена амплитуда магнитного рассеяния  $r = 0,43 \cdot 10^{-12} \text{ см}$  (для нулевого угла рассеяния), что соответ-

Таблица 1

Параметры атомов кислорода	$\text{NaCa}_2\text{Co}_2\text{V}_3\text{O}_{12}$		$\text{Ca}_3\text{Fe}_2\text{Ge}_3\text{O}_{12}$			
	наши результаты	данные [9]	наши результаты	данные [3]	данные [4]	данные [6]
x	-0,039 <sub>9</sub>	-0,0382 ± ± 0,0004	-0,034 <sub>3</sub>	-0,0355	-0,03424 ± ± 0,00022	-0,032 <sub>1</sub>
y	0,049 <sub>6</sub>	0,0514 ± ± 0,0006	0,052 <sub>1</sub>	0,0528	0,05096 ± ± 0,00021	0,054 <sub>7</sub>
z	0,1551	0,1551 ± ± 0,0007	0,150 <sub>6</sub>	0,1510	0,15169 ± ± 0,00024	0,154 <sub>2</sub>
R	1,3%	-	3,6%	-	6%	5,5%

ствует эффективному спиновому числу  $S = 0,8$ . Это несколько выше  $S = 0,5$ , соответствующего низкоспиновому состоянию, но существенно ниже  $S = 1,5$  для высокоспинового состояния иона  $\text{Co}^{2+}$ . У иона ванадия магнитного момента не обнаружено. В табл. 2 приведены значения ядерных и магнитных интенсивностей – измеренных и вычисленных.

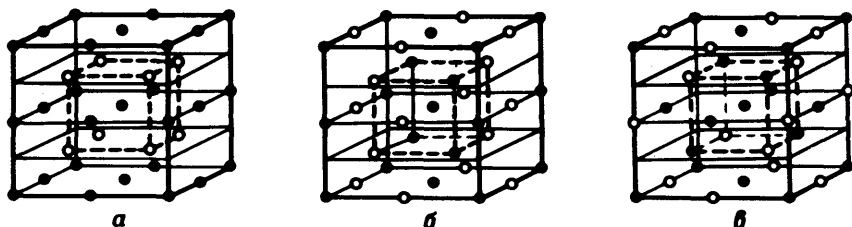


Рис. 2. Магнитная структура "одноподрешеточных" гранатов: *a* –  $\text{NaCa}_2\text{Co}_2\text{V}_3\text{O}_{12}$ , *б* –  $\text{Ca}_3\text{Mn}_2\text{Ge}_3\text{O}_{12}$ , *в* –  $\text{Ca}_3\text{Fe}_2\text{Ge}_3\text{O}_{12}$ . Чёрные и светлые кружки соответствуют противоположно направленным магнитным моментам ионов переходных металлов. На *б* и *в* показано по одной (из двух возможных) энантиоморфных структур

Таблица 2

$h k \ell$	$I$ эксп	$I$ расчет
$200_M$	260	254
$222_M$	100	110
$400$	240	246
$420_{M+M}$	280	$\begin{cases} 159 \\ 156 \end{cases}$
$332$	1200	1060
$422$	280	300
$431$	2020	1970
$521$	2100	1975
$442_M$	< 50	40
$620$	770	754

Как показали исследования парамагнитного резонанса ионов  $\text{Co}^{2+}$  в  $\text{Y}_3\text{Ca}_5\text{O}_{12}$  при  $4,2^0\text{K}$  [10] эта система описывается спиновым гамильтонианом с эффективным спином  $S = 0,5$  (спин свободного иона  $3/2$ ). Измерения теплоемкости граната  $\text{NaCa}_2\text{Co}_2\text{V}_3\text{O}_{12}$  при гелиевых температурах, проведенные недавно в работе [11], дали для спина  $\text{Co}^{2+}$  значение, близкое к 0,6. Таким образом эффективный магнитный момент иона  $\text{Co}^{2+}$  в гранате вблизи  $0^0\text{K}$ , по-видимому, существует.

венно ниже значения  $3,7 \mu_B$ , которое наблюдается у кобальтовых ферритов — шпинелей и используется обычно при рассмотрении магнитных свойств Co-замещенных ферритов — гранатов [ 12 ].

Авторы выражают свою признательность Б.В.Милю, В.И.Соколову и Р.З.Левитину за инициативу в постановке настоящего исследования и научные дискуссии, а также В.П.Смирнову — за помощь в экспериментальной работе.

Физико-технический институт  
им. Л.Я.Карпова

Поступила в редакцию  
21 июля 1972 г.

### Литература

- [ 1 ] К.П.Белов, Б.В.Миль, Г.Роннегер, В.И.Соколов, Т.Д.Хиен. ФТТ, 12, 1761, 1970.
  - [ 2 ] R.Plumier. Sol. Stat. Comm., 9, 20, 1971.
  - [ 3 ] R.Plumier. Sol. Stat. Comm., 10, 3, 1972.
  - [ 4 ] W.Prandl. Sol. Stat. Comm., 10, 6, 1972.
  - [ 5 ] В.П.Плахтий, И.В.Голосовский. 17-е Всесоюзное совещание по физике низких температур, Донецк, 1972.
  - [ 6 ] Ю.В.Липин, Ю.З.Нозик. Изв. АН Латв. ССР, 2, 1971.
  - [ 7 ] R.E.Watson, A.J.Freeman. Acta Cryst., 14, 27, 1961.
  - [ 8 ] В.И.Андреанов. Канд. диссертация, М., 1970.
  - [ 9 ] Е.Л.Духовская, Б.В.Миль. Кристаллография, в печати.
  - [ 10 ] J.R.Chamberlain, R.W.Cooper. Proc. Phys. Soc., 87, 967, 1966.
  - [ 11 ] Л.Г.Мамсурова, Б.В.Миль, В.И.Соколов. ЖЭТФ, в печати.
  - [ 12 ] S.Geller. Phys. Rev., 136, A1650, 1964.
-